

МИНИСТЕРСТВО ОБРАЗОВАНИЯ И НАУКИ  
РОССИЙСКОЙ ФЕДЕРАЦИИ  
РОССИЙСКОЕ АКУСТИЧЕСКОЕ ОБЩЕСТВО  
КУРСКИЙ ГОСУДАРСТВЕННЫЙ  
УНИВЕРСИТЕТ

**УЛЬТРАЗВУК  
И ТЕРМОДИНАМИЧЕСКИЕ  
СВОЙСТВА ВЕЩЕСТВА**

**СБОРНИК НАУЧНЫХ ТРУДОВ**

ВЫПУСК 38  
МАТЕРИАЛЫ III МЕЖДУНАРОДНОЙ НАУЧНОЙ КОНФЕРЕНЦИИ  
«АКТУАЛЬНЫЕ ПРОБЛЕМЫ МОЛЕКУЛЯРНОЙ АКУСТИКИ И  
ТЕПЛОФИЗИКИ»

Издаётся с 1966 года

Издательство Курского государственного университета

2012

УДК 532  
ББК 22.3  
У51

Печатается по решению  
редакционно-издательского  
совета КГУ и Российского  
акустического общества

У51

**Ультразвук и термодинамические свойства вещества:** сб. научн.  
трудов: Вып. 38: материалы III международной научной конференции  
«Актуальные проблемы молекулярной акустики и теплофизики» / гл. ред.  
Ю.Ф. Мелихов; Курск. гос. ун-т Мин обр. и науки РФ; Рос. акуст. общ-во.—  
Курск: Курск. гос. ун-т, 2009.— 108 с.— ISSN 9999-0019

Данный специальный выпуск сборника научных трудов «Ультразвук  
и термодинамические свойства вещества» представляет ряд докладов,  
заслушанных в течение III международной научной конференции  
«Актуальные проблемы молекулярной акустики и теплофизики»,  
прошедшей в Курском государственном университете с 6 по 8 ноября 2012  
года.

УДК 532  
ББК 22.3

**РЕДАКЦИОННАЯ КОЛЛЕГИЯ ВЫПУСКА:**

Ю.Ф. Мелихов (главный редактор, КГУ), Ю.А. Неручев (исполнительный  
редактор, КГУ), В.В. Рощупкин (зам. редактора, Москва, Ин-т металлургии  
и материаловедения РАН), В.М. Полунин (председатель Курского  
отделения Российского акустического общества, ЮЗГУ), Е.Б. Постников  
(председатель Оргкомитета III международной научной конференции  
«Актуальные проблемы молекулярной акустики и теплофизики»), В.Н.  
Вервейко (зам. председателя Оргкомитета III международной научной  
конференции «Актуальные проблемы молекулярной акустики и  
теплофизики», КГУ), А.Л. Гончаров (технический секретарь, КГУ).

ISSN 9999-0019

© Коллектив авторов, 2012

© Курский госуниверситет, 2012

## СОДЕРЖАНИЕ

<i>M. Dzida, M. Chorążewski</i>	III международная научная конференция «Актуальные проблемы молекулярной акустики и теплофизики»	3
<i>В.Н. Вервейко, Г.А. Мельников, М.В. Вервейко, Ю.Ф. Мелихов, И.В. Чухаева А.Н. Гетало, Р.О. Саенко В.И. Коротковский, Ю.А. Неручев, О.С. Рышкова</i>	The effect of temperature and pressure on the thermodynamic and acoustic properties of pentanols at temperatures from (293 to 318) K and pressures up to 100 MPa. Структурные свойства бензола и его галогенозамещенных при высоких давлениях	6
<i>А.Н. Ларионов, В.С. Воищев, Н.Н. Ларионова, О.В. Воищева, Д.Ю. Просовецкий, Н.В. Балабаев, А.А. Таскинбаев А.Н. Ларионов, В.С. Воищев, Н.Н. Ларионова, О.В. Воищева, А.И. Ефремов, Е.Л. Акимов Г.Б. Литинский И.К. Локтионов В.В. Мелентьев</i>	Акустические свойства октафторментанола-1 Методика экспериментального определения изобарной теплоемкости органических жидкостей с помощью дифференциальном сканирующего калориметра Акустические исследования влияния давления и температуры на вязкость нематических жидких кристаллов Акустические исследования динамики ориентационных процессов в низкотемпературном интервале нематической фазы Модель заторможенного вращения для жидкости квадрупольных твёрдых сфер Теплофизические свойства систем с четырёхпараметрическим осциллирующим потенциалом взаимодействия Экспериментальное исследование скорости звука и плотности 1-хлоргексана в однофазной области	13 22 27 35 40 45 49 54

**ТЕПЛОФИЗИЧЕСКИЕ СВОЙСТВА СИСТЕМ С  
ЧЕТЫРЕХПАРАМЕТРИЧЕСКИМ ОСЦИЛЛИРУЮЩИМ  
ПОТЕНЦИАЛОМ ВЗАИМОДЕЙСТВИЯ**

И.К. Локтионов

*Донецкий национальный технический университет  
83001, г. Донецк, ул. Артёма 58. e-mail: likk@telenet.dn.ua*

В настоящем сообщении предлагается последовательная схема списания теплофизических свойств системы  $N$  одинаковых частиц массы  $m_0$ , расположенных в объёме  $V$  при температуре  $T$  и взаимодействующих посредством парного четырехпараметрического осциллирующего потенциала взаимодействия (4-ОСЦ-потенциал)

$$v(r) = \frac{1}{4\pi r} \left( \frac{A}{a^2} \exp\left(-\frac{ar}{\sqrt{2}}\right) \sin\left(\frac{ar}{\sqrt{2}}\right) + \frac{B}{b^2} \exp\left(-\frac{br}{\sqrt{2}}\right) \sin\left(\frac{br}{\sqrt{2}}\right) \right) \quad (1)$$

с фурье-образом

$$\tilde{v}(k) = A/(k^4 + a^4) + B/(k^4 + b^4), \quad (2)$$

параметры которого  $a, A, b, B$  положительны, поэтому и  $\tilde{v}(k) > 0$ , что обеспечивает термодинамическую устойчивость системы и существование термодинамического предела. При определённых условиях потенциал (1) обладает основными чертами, присущими «реальным» потенциалам.

Исходным пунктом исследования является выражение для свободной энергии Гельмгольца [1]

$$F = -\frac{1}{\beta} \ln Z = F_{id} - \frac{N}{2} (v_0 - n\tilde{v}_0) + \frac{V}{2\beta} I(n, \beta), \quad (3)$$

где  $\beta = 1/k_B T$ ,  $k_B$  — постоянная Больцмана,  $n = N/V$ ,  $v_0 = v(0)$ ,  $\tilde{v}_0 = \tilde{v}(0)$  — для потенциала (1) конечные величины,  $F_{id} = Nk_B T \ln(n \cdot \lambda^3)$ ,  $\lambda = h/\sqrt{2\pi m_0 k_B T}$  — тепловая длина волны де Броиля,  $h$  — постоянная Планка,  $I(n, \beta) = \int_{\Omega} d^3 k (2\pi)^3 \ln(1 + n\beta\tilde{v}(k))$  — интеграл, определяющий все термодинамические функции,  $\Omega$  — область определения  $\tilde{v}(k)$ . Формула (3) в несколько ином виде была получена в работе [2], по-видимому, впервые.

Вычисление интеграла  $I(n, \beta)$  приводит к следующему результату

$$I(n, \beta) = a^3 [p^3(x) + g^3(x) - (1 + \delta^3)] / 3\pi\sqrt{2}, \quad (4)$$

где  $x = n\beta w$ ,  $w = A/a^4$ ,  $p(x) = ((M(x) + Q(x))/2)^{1/4}$ ,  $g(x) = ((M(x) - Q(x))/2)^{1/4}$ ,  $M(x) = 1 + \delta^4 + xd$ ,  $N(x) = \delta^4(1 + xD)$ ,  $d = 1 + \varepsilon$ ,  $D = 1 + \varepsilon/\delta^4$ ,  $\varepsilon = B/A$ ,  $\delta = b/a$ ,  $Q(x) = \sqrt{M^2(x) - 4N(x)}$ .

Пользуясь стандартной техникой, из свободной энергии (3) с учётом (4) нетрудно найти все интересующие термодинамические функции, связанные с параметрами потенциала. Уравнение состояния модельной системы имеет вид

$$P = -\left(\frac{\partial F}{\partial V}\right)_T = \frac{n}{\beta} + \frac{n^2 \tilde{v}_0}{2} - \frac{a^3}{6\pi\sqrt{2}\beta} J(x), \quad (5)$$

здесь обозначено  $J(x) = -(1 + \delta^2) + p^3(x) + g^3(x) - 3x(p^2(x)p_1(x) + g^2(x)g_1(x))$ ,  $p_1(x) = (d + Q_1(x))/8p^3(x)$ ,  $g_1(x) = (d - Q_1(x))/8g^3(x)$ ,  $Q_1(x) = [M(x)d - 2\delta^4 D]/Q(x)$ .

При согласовании результатов расчетов с данными измерений возникает вопрос об установлении значений параметров потенциала, обеспечивающих адекватное описание теплофизических свойств. Известно, что ответ на этот вопрос может быть получен либо с привлечением метода наименьших квадратов, что приводит к чрезвычайно громоздким вычислениям, либо путём решения системы нелинейных уравнений, связывающих экспериментальные величины с параметрами  $a, A, b, B$ . При этом для реализации какого-либо из численных методов необходима информация о начальном приближении. Однако в общем случае отрезки изоляции искомых параметров указать нельзя. Поэтому представляют интерес приёмы, позволяющие избежать перечисленных трудностей.

В основе решения задачи нахождения наилучших значений  $a, A, b, B$  лежит система уравнений, определяющих критическую точку (КТ)

$$\begin{cases} (\partial P / \partial n)_c = 0, \\ (\partial^2 P / \partial n^2)_c = 0, \end{cases} \quad (6)$$

которая сводится к нелинейному уравнению

$$J_1(x_c) + x_c q_c^2 J_2(x_c) = 0 \quad (7)$$

(величины  $J_1(x_c)$ ,  $J_2(x_c)$  возникают в результате дифференцирования  $J(x)$  по плотности  $n$  и вычисляются в КТ) относительно безразмерной величины  $x_c = n_c \beta_c w$ , зависящей от  $\varepsilon$  и  $\delta$ . Решения уравнения (7), найденные численно можно использовать далее для построения поверхности критической скимаемости

$$Z_c = P_c \beta_c / n_c = Z_c(\delta, \varepsilon) = 1 + x_c D / 2 + q_c^2 J(x_c) / x_c^2 J_1(x_c), \quad (8)$$

фрагмент которой представлен на рисунке 1.

Анализ результатов расчетов показывает, что параболы четвертой степени, задаваемые уравнениями  $\varepsilon = (D-1)\delta^4$ , являются асимптотами левых ветвей линий уровня поверхности  $Z_c = Z_c(\delta, \varepsilon)$ , получаемых для  $Z_c > 0,274$ . Величина  $Z_c = 0,274$  отвечает асимптотической плоскости. Линии уровня и соответствующие им степенные асимптоты показаны на рисунке 2. Из этого геометрического факта вытекают важные для исследования свойств модельных систем следствия. А именно, решения

уравнения (7), форма потенциальной кривой (1), все теплофизические свойства обнаруживают асимптотическую устойчивость при согласованном стремлении  $\varepsilon$  и  $\delta$  к бесконечности, т.е. при условии, что управляющий параметр  $D = \text{const}$ .

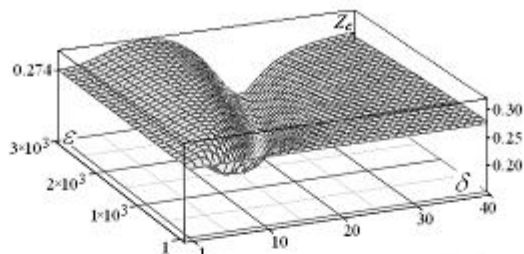


Рис.1. Фрагмент поверхности  $Z_c = Z_c(\delta, \varepsilon)$ .

Эти обстоятельства позволяют получить компактные и удобные для практического применения выражения для свойств, которые в пределе  $\varepsilon(\delta) \rightarrow \infty$  зависят не от четырёх параметров, а от одного  $D = 1 + \varepsilon/\delta^4$ .

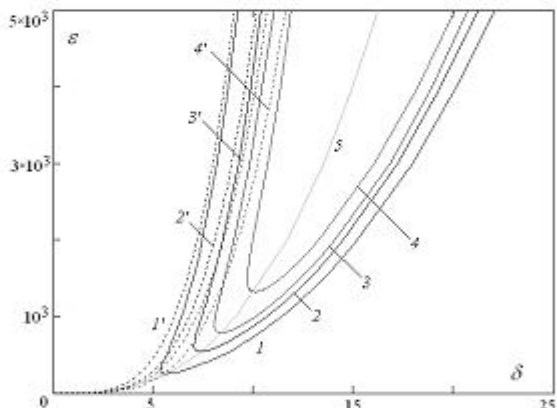


Рис.2. Линии уровня поверхности  $Z_c = Z_c(\delta, \varepsilon)$  и асимптоты левых ветвей линий уровня. 1,2,3,4 – для  $Z_c = 0.290; Z_c = 0.295; Z_c = 0.297; Z_c = 0.300$  соответственно, 5 – линия вершин линий уровня поверхности; 1',2',3',4' – асимптоты линий 1, 2, 3, 4.

Заметим, что в указанном пределе в выражении (1) доминирует второе слагаемое, а первое обращается в нуль, т.е. потенциал (1) становится двухпараметрическим с  $b(D)$  и  $B(D)$ , в отличие от аналогичного 2-ОСЦ-потенциала, рассмотренного в [3], где параметры являются постоянными.

Правые ветви линий уровня поверхности (8) подобных свойств не имеют.

Для определения оптимального значения управляющего параметра  $D \in [1; +\infty)$  необходимо использовать какой-либо критерий, позволяющий минимизировать отклонения теоретических значений свойств от экспериментальных результатов. В качестве такого критерия можно выбрать, например, условие минимума «функционала»

$$\Phi(D) = \sum_i ((X_i^{\text{exp}} - X_i^{\text{theor}}(D)) / X_i^{\text{exp}})^2, \quad (9)$$

где  $X_i$  - величина  $i$ -го экспериментального или расчетного свойства системы. Наличие в правой части (9) конкурирующих величин, обеспечивает минимум  $\Phi(D)$ . Если сумма (9) содержит слагаемые, отвечающие  $Z_c$ , температуре Бойля  $T_B$ , скорости звука  $u_c$ , энтропии  $S_c$  и производной  $(\partial \Pi / \partial \tau)_c$ , вычисляемой в приведенных координатах  $\Pi = P/P_c$ ,  $\tau = T/T_c$ , то «функционал» имеет минимум при  $D \approx 1.555$ .

Для иллюстрации предсказательных возможностей предлагаемой вычислительной схемы выполнены количественные расчёты теплофизических свойств модельной системы в КТ и в надкритической области, которые сопоставлены с экспериментальными данными из [4,5] для аргона и с результатами расчётов модели с 2-ОСЦ-потенциалом [3]. В следующей таблице приводятся относительные погрешности некоторых величин в КТ и  $T_B$ , найденные для модели с 4-ОСЦ-потенциалом при  $D \approx 1.555$  и для модели с 2-ОСЦ-потенциалом [3].

Таблица относительных погрешностей теплофизических свойств.

Относительная погрешность величины	$Z_c$	$T_B$	$(\partial \Pi / \partial \tau)_c$	$u_c$	$S_c$
2-ОСЦ-потенциал	7.8	72	1.9	11.1	39.1
4-ОСЦ-потенциал	1.4	4.3	13.3	2.6	4.4

Оценка погрешности  $(\partial \Pi / \partial \tau)_c$  не является достаточно надёжной, т.к. по данным разных авторов для аргона она изменяется в пределах 6.0–7.0. В расчётах использовано 6.0. Точность вычислений для какой-либо выбранной величины в модели 4-ОСЦ-потенциала можно повысить (в модели 2-ОСЦ-потенциала это невозможно) подбором  $D$ , однако при этом для остальных свойств погрешности возрастают.

Расчёты ряда свойств в надкритической области производились при  $P = 10 \text{ МПа}$ . Результаты вычислений скорости звука представлены на рис.3. Минимум на экспериментальной кривой 1 равен  $257 \text{ м/с}$  и достигается при  $T = 182 \text{ K}$ , на теоретических кривых 2 и 3 — при температурах  $167 \text{ K}$  и  $166 \text{ K}$ , а минимумы составляют  $210$  и  $193 \text{ м/с}$ .

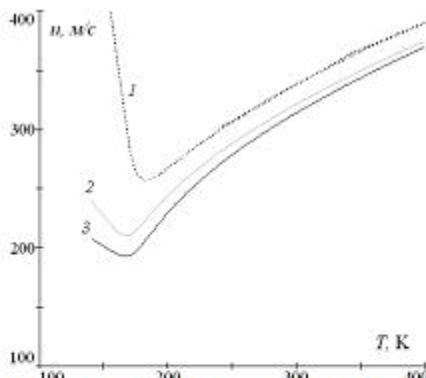


Рис.3. Зависимость скорости звука от температуры для аргона при  $P = 10 \text{ МПа}$ . Кривая 1 – эксперимент; 2,3 – расчёт для 4-ОСЦ и 2-ОСЦ-потенциалов соответственно.

К недостаткам изложенного подхода следует отнести тот факт, что погрешность  $C_p(T)$  в окрестности максимума при  $P = 10 \text{ МПа}$  заметно выше, чем в модели 2-ОСЦ-потенциала и может достигать 45%. В заключение подчеркнём, что 4-ОСЦ-потенциал в пределе  $\varepsilon(\delta) \rightarrow \infty$  допускает возможность построения соотношений, связывающих его геометрические характеристики (глубина потенциальной ямы, первый нуль потенциала) с термодинамическими функциями.

#### Библиографический список

1. Захаров А.Ю., Локтионов И.К. Классическая статистика однокомпонентных систем с модельными потенциалами // ТМФ. 1999. Т. 119. №1. С. 167.
2. Зубарев Д.Н. Вычисление конфигурационных интегралов для системы частиц с кулоновским взаимодействием // ДАН СССР. 1954. Т.35. №4. С. 757.
3. Локтионов И.К. Применение двухпараметрических осциллирующих потенциалов взаимодействия для описания теплофизических свойств простых жидкостей // ТВТ. 2012. Т.50. № 6. С.760-768.
4. Варгафтик Н.Б. Справочник по теплофизическим свойствам газов и жидкостей. М.: Физматгиз, 1972. 720 С.
5. Younglove B.A. Thermophysical Properties of Fluids. 1. Argon, Ethylene, Parahydrogen, Nitrogen Trifluoride, and Oxygen // J. Phys. Chem. Ref. Data. 1982. V. 11. Suppl. 1. P. 353.